

Критические свойства трехмерной фрустрированной модели Изинга на кубической решетке

© А.К. Муртазаев, И.К. Камиллов, М.К. Рамазанов

Институт физики Дагестанского научного центра Российской академии наук,
367003 Махачкала, Россия

E-mail: m_akai@iwt.ru

(Поступила в Редакцию 8 июня 2004 г.

В окончательной редакции 7 сентября 2004 г.)

Методом Монте-Карло (МК) выполнены исследования критических свойств $3d$ полностью фрустрированной модели Изинга на кубической решетке. На основе теории конечно-размерного скейлинга рассчитаны статические критические индексы теплоемкости α , восприимчивости γ , намагниченности β , радиуса корреляции ν , а также индекс Фишера η . Показано, что $3d$ фрустрированная модель Изинга на кубической решетке образует новый класс универсальности критического поведения.

Работа поддержана грантом Российского фонда фундаментальных исследований (проект № 04-02-16487), грантом ведущей научной школы (НШ-2253.2003.2), ФЦП „Интеграция“ (№ И0228) и грантом Фонда содействия отечественной науке (А.К.М.).

1. Введение

Современная теория фазовых переходов (ФП) и критических явлений (КЯ) в основном базируется на идеях, заложенных в гипотезе скейлинга, универсальности и в теории ренормализационной группы [1].

До недавнего времени казалось, что теория статических фазовых переходов и критических явлений в основном построена и практически прекратила свое развитие. Однако результаты, полученные, например, при исследовании фрустрированных систем, а также спиновых систем с замороженным немагнитным беспорядком, показывают, что многие из этих результатов выходят далеко за рамки современной теории ФП и КЯ [2].

Большинство традиционных теоретических и экспериментальных методов исследования таких систем сталкивается с серьезными трудностями при попытке вычислить критические параметры, определить особенности, характер и механизмы критического поведения таких систем [2,3]. Это привело к тому, что ФП и КЯ в таких системах интенсивно изучаются методами Монте-Карло (МК) [3–7].

Нами методом МК исследованы критические свойства полностью фрустрированной модели Изинга на $3d$ кубической решетке. Интерес к этой модели обусловлен следующими основными причинами.

Во-первых, при изучении фрустрированных систем (ФС) до сих пор основное внимание уделялось ФС на треугольной и гексагональной решетках [4,5–7]. Критические свойства ФС на кубической решетке практически не исследованы.

Во-вторых, многие важные физические свойства ФС сильно зависят от геометрии решетки (от степени фрустрации). Такая зависимость может привести к сужению классов универсальности критического поведения, этот вопрос все еще недостаточно полно изучен.

В-третьих, первые попытки исследования этой модели предпринимались в то время, когда мощности вычислительных машин и используемые алгоритмы метода МК не позволяли рассчитывать критические параметры с необходимой степенью точности.

Кроме того, результаты исследований, полученные в работах [8–12], неоднозначны и не дают полной картины особенностей фазовых переходов и критического поведения рассматриваемой модели, так как носят весьма противоречивый характер. Например, в работах [8–10] фазовый переход, обнаруженный вблизи $T_C = 1.34$ (здесь и далее температура дана в единицах $|J|/k_B$), интерпретирован как фазовый переход первого рода, тогда как авторы работ [11,12] пришли к выводу, что при этой температуре в системе наблюдается фазовый переход второго рода. Обратим внимание, что в большинстве этих работ главное внимание уделялось изучению термодинамических и магнитных свойств, а критические параметры рассчитывались попутно.

2. Полностью фрустрированная $3d$ модель Изинга

Трехмерная полностью фрустрированная модель Изинга на кубической решетке впервые была предложена Вильямом [13] как одна из моделей, которая может быть использована для описания спиновых стекол. Эта модель показана на рис. 1, *a*. Отметим, что вся система может быть разбита на 8 подрешеток, но подрешетки 1–5, 2–4, 3–6 и 7, 8 эквивалентны.

На рис. 1, *b* представлено восемь элементарных кубиков, описывающих спиновую конфигурацию данной модели в основном состоянии. Как видно из рисунка, на каждый элементарный куб приходится три фрустрированные связи.

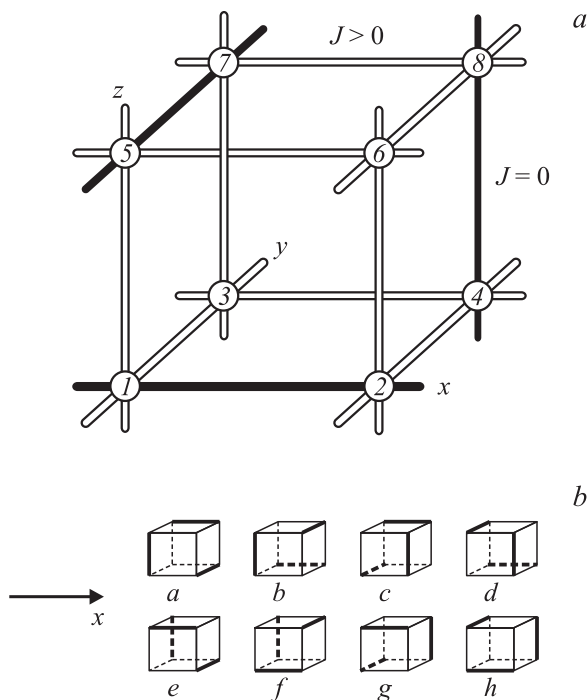


Рис. 1. Полностью фрустрированная трехмерная модель Изинга на простой кубической решетке (а): восемь элементарных кубиков (b).

Гамильтониан этой системы может быть представлен в следующем виде:

$$H = - \sum_{\langle i,j \rangle} J_{ij} \sigma_i \sigma_j, \quad (1)$$

где σ — изинговский спин, J_{ij} — обменное взаимодействие, $J > 0$ и $J < 0$ для ферромагнитных и антиферромагнитных связей соответственно. Фрустрации в этой модели обусловлены конкуренцией обменных взаимодействий [11,13].

Исследования методом МК магнитных и общетермодинамических свойств этой модели выполнены в работах [11,12]. Показано, что в этой системе наблюдаются два фазовых перехода при $T_{C1} = 1.355$ и $T_{C2} \approx 0.7$ [11], а по данным работы [12], $T_{C1} = 1.347$ и $T_{C2} \approx 0.7$. В работе [12] достаточно убедительно показано, что фазовый переход при T_{C1} является переходом второго рода, а при $T = T_{C2}$ наблюдается ФП первого рода. По-видимому, работа [11] является первой работой, где были рассчитаны некоторые статические критические индексы. Значения наиболее важных индексов ν и α , представленные в этой работе, получены путем разбиения парафазного интервала температур на две области $T_C \leq T \leq 1.45$ и $T > 1.45$. Такая процедура представляется весьма сомнительной, да и значение температуры $T = 1.45$, при котором, как полагают авторы, происходит кроссовер, вызывает сомнение. Остается неясным еще и вопрос о причинах кроссовера в парафазной области.

Кроме того, прямой анализ данных МК эксперимента и определения индексов через углы наклона зависи-

мых термодинамических параметров на графиках, построенных в логарифмическом масштабе, является малоубедительным. Особенно при той небольшой МК статистике, представленной в этой работе.

Отметим работу [12], в которой представлены значения критических индексов α, β, ν и η , однако целью авторов являлось исследование магнитных и термодинамических свойств этой модели, а не расчет критических индексов. Кроме того, выбранный авторами способ использования конечно-размерного скейлинга для расчета, на наш взгляд, не отличается высокой точностью.

Тем не менее данные этих работ свидетельствуют об отличии критических параметров полностью фрустрированной 3d модели Изинга от значений, характеризующих класс универсальности чистой модели Изинга.

Согласно представлениям современной теории ФП и КЯ, класс универсальности критического поведения в основном зависит от [1,14]

- 1) размерности пространства d ,
- 2) числа степеней свободы параметра порядка n ,
- 3) симметрии гамильтониана,
- 4) радиуса характерного взаимодействия.

В то же время ряд имеющихся результатов говорит о том, что класс универсальности ФС может зависеть не только от этих параметров. Об этом свидетельствуют и результаты, полученные методом МК на решетках разной геометрии [4,5–7]. Отметим также, что неизвестны с достаточной точностью асимптотические значения критических параметров таких систем.

С учетом всего этого в настоящей работе предпринята попытка по возможности с максимальной точностью, с соблюдением единой методики, с использованием надежной и проверенной схемы определить значения критических параметров 3d полностью фрустрированной модели Изинга.

3. Метод исследования

Фрустрированные спиновые системы являются довольно сложными объектами для исследования даже методом МК. Как известно, вблизи критической точки метод МК сталкивается с проблемой „критического замедления“, а в ФС эта проблема становится еще более актуальной. Поэтому в последнее время разработано много новых вариантов алгоритмов метода МК. Из них наиболее мощными и эффективными в исследовании КФ в различных спиновых системах и моделях оказались кластерные алгоритмы метода МК [15–18]. Эти алгоритмы позволили рассчитать критические параметры многих модельных систем с высокой степенью точности [3]. Но, к сожалению, применение этих алгоритмов к исследованию КЯ в фрустрированных системах оказалось малоэффективным. Это обусловлено тем, что ФС испытывают фазовый переход при низких температурах и/или формируемый кластер охватывает слишком большую область системы. Иногда эти алгоритмы используют с некоторым подбираемым параметром,

который позволяет регулировать размер формируемого кластера. Поэтому для изучения ФС стали применять специальные варианты кластерных алгоритмов, которые оказались эффективными только для исследования низкоразмерных моделей ФС [19,20]. При исследовании трехмерных моделей эти алгоритмы оказались даже менее эффективными, чем стандартный алгоритм Метрополиса (см. ссылки в [21]).

Поэтому нами для исследования $3d$ фрустрированной модели Изинга использовался классический алгоритм Метрополиса [22]. Расчеты проводились для систем с периодическими граничными условиями (ПГУ) с линейным размером $L \times L \times L = N$, $L = 8-30$. Число спинов N в моделируемых системах при этом составляло 512, 1000, 1728, 2744, 4096, 5832, 8000, 10648, 13824, 17576, 21952 и 27000. Начальные конфигурации задавались таким образом, чтобы все спины были упорядочены вдоль оси z . Для вывода системы в состояние термодинамического равновесия отсекался неравновесный участок длины $5.0 \cdot 10^5$ МК шагов/спин, что в несколько раз больше длины неравновесного участка. Усреднение термодинамических величин проводилось вдоль марковской цепи длиной до $3.0 \cdot 10^6$ МК шагов/спин.

4. Результаты моделирования

Для наблюдения за температурным ходом поведения теплоемкости и восприимчивости использовались выражения [23–25]

$$C = (NK^2)(\langle U^2 \rangle - \langle U \rangle^2), \quad (2)$$

$$\chi = \begin{cases} NK(\langle m^2 \rangle - \langle m \rangle^2), & T < T_C, \\ NK\langle m^2 \rangle, & T \geq T_C, \end{cases} \quad (3)$$

где $K = |J|/k_B T$, N — число частиц, U — внутренняя энергия, m — подрешеточная намагниченность.

На рис. 2 представлены характерные зависимости теплоемкости C от температуры для систем с линейными размерами $L = 8, 12, 16$ и 20 (здесь и далее погрешность не превышает размеров использованных точек).

Отметим, что в зависимости теплоемкости C от температуры для всех систем вблизи критической температуры наблюдаются хорошо выраженные максимумы, которые увеличиваются с ростом числа спинов в системе, причем эти максимумы в пределах погрешности приходятся на одну и ту же температуру даже для систем с наименьшим значением L . Это свидетельствует, во-первых, о высокой эффективности использованного способа добавления ПГУ, а во-вторых, о достижении насыщения по N для многих исследуемых нами параметров.

Для более точного определения критической температуры T_C нами использовался метод кумулянтов Биндера U_L четвертого порядка. Кумулянт Биндера четвертого

порядка имеет вид [26]

$$U_L = 1 - \frac{\langle m^4 \rangle_L}{3\langle m^2 \rangle_L^2}. \quad (4)$$

Согласно теории конечно-размерного скейлинга (КРС), точка пересечения всех кривых U_L в их температурной зависимости является критической точкой [25].

Вместо параметра порядка m в формуле (4) нами использовалась величина, равная $m = \frac{1}{4} \left(\sum_{\alpha=1}^4 q_\alpha^2 \right)^{1/2}$, где параметр порядка Эдвардса–Андерсона q_α определяется следующим образом [11]:

$$q_\alpha = \frac{8}{N} \sum_{i \in \alpha} |\langle \sigma_i^\alpha \rangle|, \quad (5)$$

здесь α указывает номер подрешетки.

На рис. 3 представлена характерная зависимость U_L от температуры для подрешеток 3–6. Точка пересечения U_L

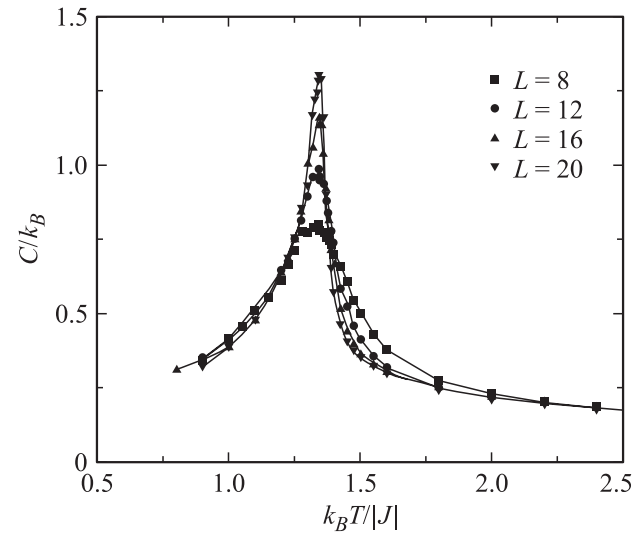


Рис. 2. Зависимость теплоемкости C/k_B от температуры $k_B T/|J|$.

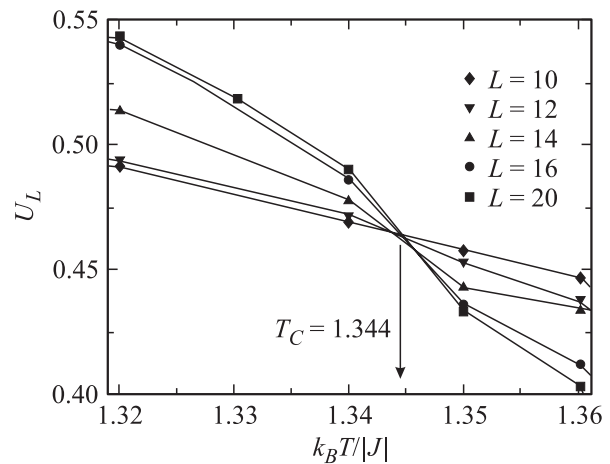


Рис. 3. Зависимость кумулянта Биндера U_L от температуры $k_B T/|J|$.

Значения критических индексов α , β , γ , ν и η

Критический параметр	Данные настоящей работы	[11]	[12]	Нефрустрированная модель Изинга (см. ссылки в [3])
α	0.46(2)	0.33(5)	0.32(2)	0.108
β	0.21(2)	—	0.25(2)	0.326
γ	1.18(3)	—	—	1.239
ν	0.55(2)	0.55(2)	0.56(2)	0.631
η	-0.15(5)	-0.28(6)	-0.10(2)	0.038
T_c	1.344(2)	1.355(2)	1.347(1)	4.5108

соответствует критической температуре $T_c = 1.344(2)$. Аналогичным образом определялись значения критических температур и для остальных подрешеток.

Из рис. 2 и 3 видно, что пик теплоемкости для систем с разным числом спинов N соответствует критической температуре T_c , определенной методом кумулянтов Биндера, что говорит о высокой надежности определения критической температуры.

Для расчета статических критических индексов теплоемкости α , восприимчивости γ , намагниченности β и радиуса корреляции ν использовались соотношения теории КРС.

Согласно этой теории, свободная энергия для достаточно большой системы с ПГУ при температуре T , близкой к критической температуре T_c бесконечной системы, может быть представлена в виде [27,28]

$$F(T, L) \propto L^{-d} F_0(tL^{1/\nu}), \quad (6)$$

где $t = |T - T_c|/T_c$, $T_c = T_c(L = \infty)$ и ν — статический критический индекс радиуса корреляции бесконечной системы ($L = \infty$).

Уравнение (6) ведет к аналогичным уравнениям для теплоемкости, восприимчивости и спонтанной намагниченности, приходящихся на один спин [24,27,28]

$$C(T, L) \propto L^{\alpha/\nu} C_0(tL^{1/\nu}), \quad (7)$$

$$\chi(T, L) \propto L^{\gamma/\nu} \chi_0(tL^{1/\nu}), \quad (8)$$

$$m(T, L) \propto L^{-\beta/\nu} m_0(tL^{1/\nu}), \quad (9)$$

где α, γ, β — статические критические индексы для системы с $L = \infty$. Они связаны соотношением гиперскейлинга $2 - \alpha = d\nu = 2\beta + \gamma$ [1].

Кроме того, в настоящее время на основе теории КРС предложен ряд способов определения критического индекса радиуса корреляции ν [4,29,30].

В соответствии с этой теорией в точке фазового перехода

$$V_n = L^{1/\nu} g_{V_n}, \quad (10)$$

где g_{V_n} — некоторая постоянная, а в качестве V_n могут фигурировать величины

$$V_i = \frac{\langle m' E \rangle}{\langle m' \rangle} - \langle E \rangle, \quad (i = 1, 2, 3, 4). \quad (11)$$

Из соотношений (8), (9) следует, что в системе с размером $L \times L \times L$ при $T = T_c$ и достаточно больших L для намагниченности и восприимчивости выполняются следующие соотношения [3,24]:

$$m \propto L^{-\beta/\nu}, \quad (12)$$

$$\chi \propto L^{\gamma/\nu}. \quad (13)$$

Эти соотношения использованы для определения β и γ .

Аналогичное соотношение для теплоемкости, как уже было показано в [31], не реализуется, и для аппроксимации температурной зависимости теплоемкости от L на практике, как правило, используется выражение (см. ссылки в [31])

$$C_{\max}(L) = C_{\max}(L = \infty) - AL^{\alpha/\nu}, \quad (14)$$

где A — некоторый коэффициент.

На рис. 4 в двойном логарифмическом масштабе представлена характерная зависимость восприимчивости χ_3 для подрешетки 3 от линейных размеров решетки L . Как видно из рисунка, все данные ложатся на прямую, угол наклона кривой определяет значение γ/ν . По этой схеме определены значения α/ν , β/ν и $1/\nu$. Затем полученные значения ν использовались для расчета α, β и γ . Все значения индексов, полученные таким образом, представлены в таблице. Здесь же для сравнения приведены данные, полученные в работах [11,12].

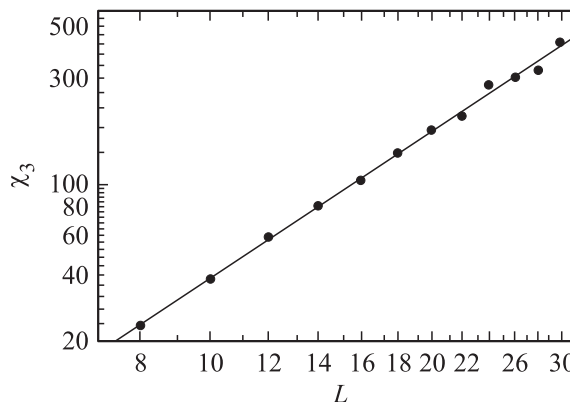


Рис. 4. Зависимость восприимчивости χ_3 от линейных размеров системы L при $T = T_{c1}$.

Особо следует отметить процедуру, использованную для определения индекса Фишера η . Воспользовавшись соотношением между восприимчивостью χ и радиусом корреляции ξ [32]

$$\chi \propto \xi^{\gamma/\nu}, \quad (15)$$

а также соотношением $\eta = 2 - \gamma/\nu$, связывающим индекс η и ν , получим

$$\ln(\chi/\xi^2) = c - \eta \ln \xi, \quad (16)$$

где c — некоторая константа. Для систем с конечным размером $\xi = L$. Тогда при $T = T_C$ имеем

$$\ln(\chi/L^2) = c - \eta \ln L. \quad (17)$$

На основе выражения (17) для всех восьми подрешеток были определены значения индекса η . Эти данные также представлены в таблице.

Отметим, что значения индексов ν , найденные нами, в пределах погрешности совпадают с полученными в работе [12]. Индексы α и β несколько отличаются от данных других авторов [11,12]. Критический индекс γ для этой модели, по-видимому, определен впервые нами (во всяком случае, мы не нашли работ, где это было сделано). Индекс Фишера η в пределах погрешности совпадает с результатом авторов работы [12]. Что касается критической температуры $T_C = 1.344(2)$, определенной в данном исследовании и в работе [12] как $T_C = 1.355$, то они практически совпадают.

5. Заключение

Наши исследования критических свойств $3d$ полностью фрустрированной модели Изинга на простой кубической решетке с использованием классического алгоритма метода МК (алгоритм Метрополиса) позволили рассчитать все остальные статические критические индексы. Расчет критических индексов теплоемкости α , восприимчивости γ , намагниченности β , радиуса корреляции ν и индекса Фишера η выполнен на основе соотношений теории КРС и с соблюдением единой методики в рамках одного исследования. Полученные данные свидетельствуют о принадлежности $3d$ полностью фрустрированной модели Изинга на кубической решетке к новому классу универсальности. По-видимому, критический индекс восприимчивости для этой модели рассчитан впервые.

Список литературы

- [1] А.З. Паташинский, В.Л. Покровский. Флуктуационная теория фазовых переходов. Наука, М. (1982).
- [2] Вик.С. Доценко. УФН **165**, 5, 481 (1995).
- [3] И.К. Камилов, А.К. Муртазаев, Х.К. Алиев. УФН **169**, 7, 773 (1999).
- [4] Д. Лойсон, А.И. Соколов, Б. Деламотт, С.А. Антоненко, К.Д. Шотт, Х.Т. Дип. Письма в ЖЭТФ **72**, 6, 447 (2000).

- [5] H.J. Kavamura. J. Phys. Soc. Jap. **61**, 4, 1299 (1992).
- [6] H.J. Kavamura. J. Phys. Soc. Jap. **56**, 2, 474 (1986).
- [7] A. Mailhot, M.L. Plumer, A. Caille. Phys. Rev. B **50**, 10, 6854 (1994-II).
- [8] S.F. Chui, G. Forgacs, D.M. Hatch. Phys. Rev. B **25**, 11, 6952 (1982).
- [9] D. Blankshtein, M. Ma, A. Nihat Berker. Phys. Rev. B **30**, 3, 1362 (1984).
- [10] G.S. Grest. J. Phys. C: Solid State Phys. **18**, 33, 6239 (1985).
- [11] H.T. Diep, P. Lallemand, O. Nagai. J. Phys. C: Solid State Phys. **18**, 5, 1067 (1985).
- [12] L.W. Bernardi, K. Hukushima, H. Takayama. J. Phys. A: Mathematical and General **32**, 10, 1787 (1999).
- [13] J. Villain. J. Phys. C: Solid State Phys. **10**, 10, 1717 (1977).
- [14] И.К. Камилов, Х.К. Алиев. Статические критические явления в магнитоупорядоченных кристаллах. Изд-во ДНЦ РАН, Махачкала (1993).
- [15] U. Wolf. Phys. Rev. Lett. **62**, 4, 361 (1989).
- [16] U. Wolf. Nucl. Phys. B **322**, 3, 759 (1989).
- [17] A.M. Ferrenberg, R.N. Swendsen. Phys. Rev. Lett. **61**, 23, 2635 (1988).
- [18] A.M. Ferrenberg, R.N. Swendsen. Phys. Rev. Lett. **63**, 12, 1195 (1989).
- [19] D. Kandel, R. Ben-Av, E. Domany. Phys. Rev. Lett. **65**, 8, 941 (1990).
- [20] D. Kandel, R. Ben-Av, E. Domany. Phys. Rev. B **45**, 8, 4700 (1992).
- [21] P.D. Coddington, L. Hang. Cond-mat/9402030 (1994).
- [22] К. Биндер. Методы Монте-Карло в статистической физике. Мир, М. (1982).
- [23] K. Binder, J.-Sh. Wang. J. Stat. Phys. V **55**, 1, 87 (1989).
- [24] P. Peczak, A.M. Ferrenberg, D.P. Landau. Phys. Rev. B **43**, 7, 6087 (1991).
- [25] К. Биндер, Д.В. Хеерман. Моделирование методом Монте-Карло в статистической физике. Наука, М. (1995).
- [26] K. Binder. Phys. Rev. Lett. **47**, 9, 693 (1981).
- [27] A.E. Ferdinand, M.E. Fisher. Phys. Rev. **185**, 2, 832 (1969).
- [28] M.E. Fisher, M.N. Barber. Phys. Rev. Lett. **28**, 23, 1516 (1972).
- [29] D.P. Landau. Physica A **205**, 1, 41 (1994).
- [30] D.P. Loison. Phys. Lett. A **257**, 1, 83 (1999).
- [31] А.К. Муртазаев, И.К. Камилов, М.А. Магомедов. ЖЭТФ **120**, 6, 1535 (2001).
- [32] Ch. Holm, W. Janke. Phys. Rev. B **48**, 2, 936 (1993-II).